



The Investigation and Analysis of Natural Hazards and Human and Environmental Issues in Sanandaj for Providing Appropriate Solutions

Mozghan Nosrati^{a*}, Saeid Khezri^b, Afagh Kazemi^c

^a MA in Environmental Hazards, University of Kordestan, Sanandaj, Iran

^b Associate Professor in Geomorphology, University of Kordestan, Sanandaj, Iran

^c Assistant Professor in Geomorphology, University of Kordestan, , Sanandaj, Iran

Received: 24 July 2021

Revised: 27 August 2021

Accepted: 10 October 2021

Abstract

In recent years, along with the increase in the population of urban areas, urban hazards have also increased. Sanandaj is one of the cities that have a high potential for the occurrence of hazards. Therefore, this study explored Sanandaj's areas vulnerable to the risk of slope movements, floods, earthquakes, pollution, and traffic. According to the objectives, two integrated models of Fuzzy logic and the Analytic Hierarchy Process (AHP) were used and areas vulnerable to each of the mentioned hazards were identified. The results indicate that many of western parts and also the northern parts of Sanandaj city are prone to slope movements due to the high slope and height. Moreover, due to the existence of the Gheshlagh River in the eastern half of the city as well as the presence of low slope areas in its central part, many parts of the Sanandaj city have a great potential to cause floods. The assessment of the potentials for earthquake vulnerability indicates that the western and central parts of Sanandaj have a high potential for vulnerability due to proximity to fault lines, high slope, lack of access to open space, and high population density. Regarding pollution and traffic, the central parts of Sanandaj city have a high potential for pollution and traffic due to high population density and the existence of various uses like transportation. The western and northern parts of Sanandaj are prone to large-scale movements and have a high potential for earthquake. The eastern parts of Sanandaj have a high potential for floods. The southern parts of Sanandaj are prone to floods and have a high potential for earthquakes. Moreover, the central parts of Sanandaj have a high potential of pollution and traffic.

Keywords: Natural and Human Hazards, Fuzzy logic, AHP, Sanandaj

* Corresponding author: Mozghan Nosrati E-mail: m.nosrati1389@gmail.com Tel: + 989188724740

How to cite this Article: Nosrati, M., Khezri, S., & Kazemi, A. (2022). The Investigation and Analysis of Natural Hazards and Human and Environmental Issues in Sanandaj for Providing Appropriate Solutions. *Journal of Geography and Environmental Hazards*, 11(1), 99-115.

DOI:10.22067/GEOEH.2021.71620.1092



Journal of Geography and Environmental Hazards are fully compliant
With open access mandates, by publishing its articles under Creative
Commons Attribution 4.0 International License (CC BY 4.0).



Creative Commons Attribution 4.0 International License (CC BY 4.0)



Geography and Environmental Hazards

Volume 11, Issue 1 - Number 41, Spring 2022

<https://geoeh.um.ac.ir>



<https://dx.doi.org/10.22067/geoeh.2021.71620.1092>



جغرافیا و مخاطرات محیطی، سال یازدهم، شماره چهل و یکم، بهار ۱۴۰۱، صص ۹۹-۱۱۵

مقاله پژوهشی

بررسی و تحلیل مخاطرات طبیعی و مسائل انسانی و محیطی شهر سنندج به منظور ارائه راهکارهای مناسب

مژگان نصرتی^۱- کارشناس ارشد مخاطرات محیطی، دانشگاه کردستان، سنندج، ایران.



سعید خضری - دانشیار ژئومورفولوژی، دانشگاه کردستان، سنندج، ایران.

آفاق کاظمی - استادیار ژئومورفولوژی، دانشگاه کردستان، سنندج، ایران.

تاریخ دریافت: ۱۴۰۰/۵/۲ تاریخ بازنگری: ۱۴۰۰/۷/۵ تاریخ تصویب: ۱۴۰۰/۷/۱۸

چکیده

در طی سال‌های اخیر به موازات افزایش جمعیت نواحی شهری، مخاطرات شهری نیز روند افزایشی داشته است. یکی از شهرهایی که پتانسیل بالایی جهت وقوع مخاطرات دارد، شهر سنندج است. در این پژوهش به بررسی مناطق آسیب‌پذیر شهر سنندج در برابر مخاطرات حرکات دامنه‌ای، سیلاب، زمین‌لرزه، آلودگی و ترافیک پرداخته شده است. با توجه به اهداف موردنظر، از دو مدل تلفیقی منطق فازی و تحلیل سلسه مراتبی (AHP) استفاده شده و مناطق آسیب‌پذیر در برابر هر کدام از مخاطرات مذکور شناسایی شده است. نتایج پژوهش بیانگر این است که بخش‌های زیادی از غرب شهر سنندج و همچنین مناطق شمالی شهر به دلیل شیب و ارتفاع زیاد مستعد وقوع حرکات دامنه‌ای است. همچنین به دلیل وجود رودخانه قشلاق در نیمه شرقی شهر سنندж و همچنین وجود مناطق کم شیب در مناطق داخلی شهر، بخش‌های زیادی از این شهر پتانسیل زیادی به منظور ایجاد سیلاب و آب گرفتگی دارد. ارزیابی پتانسیل آسیب‌پذیری در برابر زلزله بیانگر این است بخش‌های غربی و مرکزی شهر سنندج به دلیل نزدیکی به خطوط گسل، شیب زیاد، عدم دسترسی به فضای باز و تراکم جمعیتی بالا، پتانسیل آسیب‌پذیری بالایی دارد. از نظر آلودگی و ترافیک نیز بخش‌های مرکزی شهر سنندج به دلیل تراکم بالای جمعیت و وجود کاربری‌های مختلفی از جمله حمل و نقل و ... پتانسیل آلودگی و ترافیک بالایی دارد. با توجه به موارد مذکور، بخش‌های غربی و شمالی

Email: m.nosrati1389@gmail.com

۱ نویسنده مسئول: ۰۹۱۸۸۷۲۴۷۴۰

نحوه ارجاع به این مقاله:

نصرتی، مژگان؛ خضری، سعید؛ کاظمی، آفاق. (۱۴۰۱). بررسی و تحلیل مخاطرات طبیعی و مسائل انسانی و محیطی شهر سنندج به منظور ارائه راهکارهای مناسب. *جغرافیا و مخاطرات محیطی*. ۱(۱۱). صص ۹۹-۱۱۵
<https://dx.doi.org/10.22067/geoeh.2021.71620.1092>

شهر مستعد و قوع حرکات دامنه‌ای است و همچنین پتانسیل آسیب‌پذیری بالایی در برابر زلزله دارد. بخش‌های شرقی شهر پتانسیل بالایی از نظر وقوع سیلاب دارد. بخش‌های جنوبی نیز مستعد و قوع سیلاب است و پتانسیل آسیب‌پذیری بالایی در برابر زلزله دارد. همچنین بخش‌های مرکزی شهر سنتنج پتانسیل بالایی از نظر آلودگی و ترافیک دارد.

کلیدواژه‌ها: مخاطرات طبیعی و انسانی، منطق فازی، AHP، سنتنج.

۱- مقدمه

گسترش شتابان شهرها پس از انقلاب صنعتی، باعث بروز مشکلات زیادی برای جوامع ساکن در آن‌ها شده است. در واقع، فرایند شهرنشینی آسیب‌پذیری در برابر مخاطرات را به دلیل تمرکز انسان‌ها و تملک‌ها افزایش داده است ([فائدرحمتی و همکاران، ۱۳۹۲](#)). از طرف دیگر، بسیاری از بناهای طبیعی در جهان در مناطق شهری اتفاق می‌افتد و هرساله میلیون‌ها نفر را تحت تأثیر قرار می‌دهد ([پلینگ^۱، ۲۰۰۷](#)) و همین مسئله سبب شده است تا تغییرات زیست‌محیطی ناشی از توسعه شهرها موردنوجه دانشمندان و برنامه‌ریزان شهری قرار گیرد ([ماس^۲ و همکاران، ۲۰۱۴](#)). در طی سال‌های اخیر به موازات افزایش جمعیت نواحی شهری، مخاطرات شهری نیز روند افزایشی داشته است. مخاطرات نواحی شهری را می‌توان به دو دسته طبیعی و انسانی تقسیم کرد که این مخاطرات به‌طور مستقیم جمعیت ساکن در نواحی شهری را تحت تأثیر قرار می‌دهند. از جمله مخاطرات طبیعی نواحی شهری که تأثیر مستقیمی بر سکونتگاه‌ها دارند می‌توان به حرکات دامنه‌ای، سیلاب و زلزله اشاره کرد و از جمله مخاطرات انسانی نیز آلودگی، عوارض ناشی از بافت فرسوده هستند. نوع مخاطرات در مناطق مختلف و با توجه به موقعیت جغرافیایی، سیاسی، اقتصادی متفاوت خواهد بود. پژوهش‌های مربوط به مخاطرات طبیعی و رابطه متقابل آن با فعالیت‌های انسانی، سابقه طولانی دارد ([مونتز و توبین^۳، ۲۰۱۱](#)). بررسی مخاطرات در مناطق مختلف متفاوت است؛ به‌طوری‌که نواحی شهری، خصوصاً شهرهایی که با محدودیت و تنگناهای طبیعی مواجه هستند، ضروری‌تر است ([مالال‌گودا^۴ و همکاران، ۲۰۱۰](#)). در این میان، یکی از شهرهایی که با تنگناهای زیادی مواجه است، شهر سنتنج است. وضعیت ژئومورفولوژی شهر سنتنج سبب شده است تا نواحی سکونتگاهی واقع در این شهر علاوه بر محدودیت‌های زیادی که از نظر توسعه فیزیکی دارند، در معرض مستقیم مخاطرات طبیعی و انسانی نیز باشند؛ به‌طوری‌که بخش‌هایی زیادی از این شهر در معرض وقوع حرکات دامنه‌ای و سیلاب قرار دارد و به‌علاوه با توجه به پتانسیل لرزه‌خیزی شهر سنتنج، در صورت وقوع زلزله، بخش‌های زیادی از این شهر پتانسیل آسیب‌پذیری بالایی دارند. همچنین شهر سنتنج با مخاطرات انسانی نیز مواجه است که بیش‌تر به دلیل وضعیت طبیعی حاکم بر این شهر بوده است که از جمله این

۱ Pelling

2 Mas

3 Montz & Tobin

4 Malalgoda

مخاطرات، می‌توان به آسیب‌پذیر بودن بافت‌های فرسوده، ترافیک و آلودگی اشاره کرد. با توجه به موارد مذکور، شناسایی مناطق آسیب‌پذیر شهر سنتدج در برابر مخاطرات طبیعی و انسانی ضروری به نظر می‌رسد و بر این اساس در این پژوهش به این مهم پرداخته شده است.

با توجه به اهمیت موضوع، در این مورد مطالعات مختلفی صورت گرفته است که از جمله آن‌ها می‌توان به بوتروفرندکس^۱ (۲۰۰۹) اشاره کرد که میزان آسیب‌پذیری شهر میدلین کلمبیا در برابر زلزله را مورد ارزیابی قرار داده است. پنگ^۲ (۲۰۱۲) به شناسایی مناطق آسیب‌پذیر در برابر مخاطرات طبیعی در چین پرداخته است. میا^۳ و همکاران (۲۰۱۶) به بررسی عوامل مؤثر در وقوع زمین‌لغزش در بنگلادش و همچنین تأثیر وقوع زمین‌لغزش بر عوامل مختلف اقتصادی و اجتماعی پرداخته است. سوراز^۴ و همکاران (۲۰۱۶) به ارزیابی تاب‌آوری شهری در مراکز استانی کشور اسپانیا پرداخته‌اند. کیانگ^۵ و همکاران (۲۰۱۷) تغییرات جمعیتی شهرهای امریکا در نواحی سیل خیز را در طی سال‌های ۲۰۰۱ تا ۲۰۱۱ مورد ارزیابی قرار داده‌اند. بورنان^۶ و همکاران (۲۰۱۹) به ارزیابی مخاطره سیل در شهر کنستانتین^۷ الجزایر پرداختند. سوریانو^۸ و همکاران (۲۰۲۰) به بررسی مخاطرات ژئومورفولوژیکی شهر مکزیکوستیتی پرداختند. در ایران نیز حبیبی و جوانمردی (۱۳۹۲) به تحلیل ناپایداری بافت شهری بخش مرکزی شهر سنتدج در برابر زلزله با استفاده از روش‌های منطق فازی و تحلیل سلسله مراتبی (AHP) پرداختند. حاتمی نژاد و همکاران (۱۳۹۳) به تحلیل میزان آسیب‌پذیری مسکن شهری در منطقه ۶ شهر تهران با استفاده از روش‌های AHP و SAW پرداختند. خضری و ولدی (۱۳۹۵) به ارزیابی مخاطرات زیست محیطی ژئومورفولوژیک شهرستان کامیاران با تأکید بر مناطق فقیرنشین شهری پرداختند. نیری و همکاران (۱۳۹۶) مناطق مستعد جهت توسعه فیزیکی شهر سنتدج را مورد ارزیابی قرار داده‌اند. منوریان و همکاران (۱۳۹۷) عوامل تأثیرگذار بر افزایش تاب‌آوری اجتماعی در مقابل حوادث طبیعی در محلات شهر تهران را مورد ارزیابی قرار داده‌اند. نگهبان و همکاران (۱۳۹۸) به ارزیابی توسعه فیزیکی شهر سنتدج و گسترش آن به سمت مناطق ممنوعه ژئومورفولوژیکی پرداختند. غلامی و همکاران (۱۳۹۸) به ارزیابی آسیب‌پذیری بافت فرسوده شهر کاشان ناشی از خطرات زلزله پرداختند. خدادادی و همکاران (۱۳۹۹) نیز به تحلیل آسیب‌پذیری شهر کرج در برابر مخاطره زمین‌لرزه پرداخته‌اند.

1 BoteroFernandez

2 Peng

3 Mia

4 Suarez

5 Qiang

6 Bourenane

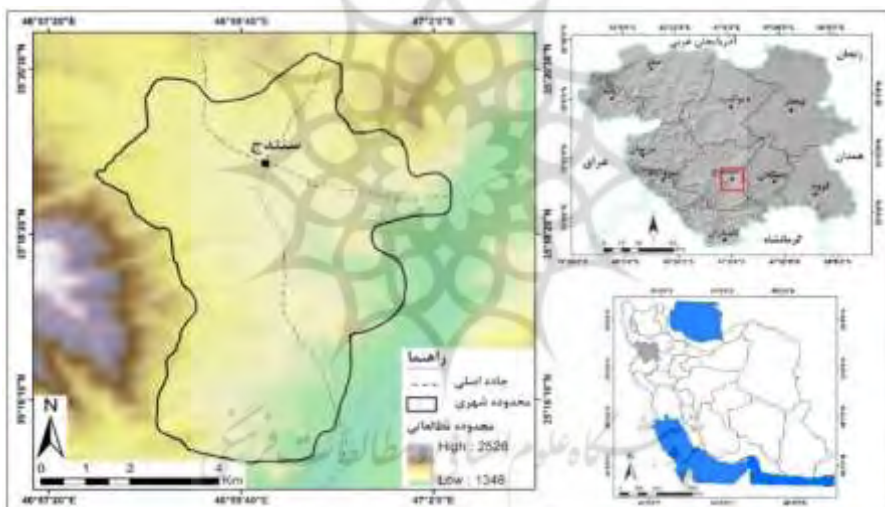
7 Constantine

8 Soriano

۲- مواد و روش‌ها

۲-۱- منطقه مورد مطالعه

شهر سنتدج از نظر تقسیمات سیاسی به عنوان مرکز شهرستان سنتدج و همچنین مرکز استان کردستان محسوب می‌شود ([شکل ۱](#)). همچنین سنتدج با ۴۱۴۰۰۰ نفر جمعیت، پرجمعیت‌ترین شهر استان کردستان است (مرکز آمار ایران، [۱۳۹۵](#)). موقعیت جغرافیایی، اقتصادی و سیاسی سنتدج سبب شده است تا در طی سال‌های اخیر با رشد و توسعه زیادی همراه باشد. شهر سنتدج از نظر زئومورفولوژی توسط واحد کوهستان (از جمله کوههایی مانند آبیدر کوچک و بزرگ در غرب و جنوب غرب محدوده این شهر) و تپه‌ماهور احاطه شده است و بخش‌های زیادی از آن را نواحی پرشیب در برگرفته است و همچنین از سمت شرق نیز به واحد پادگانه رودخانه متهمی شده است. از نظر اقلیمی نیز شهر سنتدج بر اساس روش آمیزه در اقلیم نیمه‌خشک سرد واقع شده است که دارای تابستان‌های معتدل و زمستان‌های سرد است ([حنفی و حاتمی، ۱۳۹۲](#)).



شکل ۱- نقشه موقعیت منطقه مورد مطالعه

۲-۲- روش تحقیق

در این تحقیق به منظور دستیابی به اهداف موردنظر از نقشه‌های توپوگرافی ۱:۵۰۰۰۰ (زمین‌شناسی)، مدل رقومی ارتفاعی ۳۰ متر و لایه‌های رقومی اطلاعاتی (کاربری اراضی، خطوط گسل، جاده‌ها) به عنوان داده‌های تحقیق استفاده شده است. مهم‌ترین ابزار تحقیق، نرم‌افزار ArcGIS (به منظور اجرای مدل‌ها و تهیه نقشه‌های نهایی) بوده است. در این تحقیق همچنین از دو مدل منطق فازی (به منظور فازی سازی لایه‌ها و ترکیب لایه‌ها) و تحلیل سلسنه مراتبی (AHP) استفاده شده است. استفاده از این دو مدل به منظور انجام پهنه‌بندی موردنیاز بوده است. از مدل

منطق فازی جهت فازی سازی و ترکیب نهایی لایه‌ها و درنهایت تهیه نقشه‌های نهایی استفاده شده است. از مدل تحلیل سلسله مراتبی نیز به منظور وزن دهی به لایه‌ها استفاده شده است. در واقع، با توجه به اینکه ارزش و اهمیت لایه‌های مورداستفاده یکسان نیست، بهمنظور ارزش‌گذاری آنها از این مدل استفاده شده است.

در این پژوهش، پس از تهیه لایه‌های اطلاعاتی، مناطق آسیب‌پذیر شهر سنتدج در برابر مخاطرات حرکات دامنه‌ای، سیلاب، زمین‌لرزه، آلودگی و ترافیک شناسایی شده است. روش کلی شناسایی مناطق آسیب‌پذیر در برابر هر کدام از مخاطرات به این صورت بوده است که ابتدا لایه‌های موردنظر برای هر مخاطره انتخاب شده است، سپس لایه‌های موردنظر بر مبنای پتانسیلی که جهت موضوع مخاطره مذکور دارند فازی سازی شده‌اند. پس از فازی سازی لایه‌ها، با استفاده از مدل AHP به لایه‌ها وزن داده شده و درنهایت لایه‌ها اطلاعاتی با هم ترکیب شده و نقشه‌های نهایی مناطق آسیب‌پذیر تهیه شده است. در ادامه به تشریح پارامترهای مورد استفاده جهت شناسایی مناطق آسیب‌پذیر پرداخته شده است:

شناسایی مناطق مستعد وقوع حرکات دامنه‌ای: بهمنظور پتانسیل سنجی مناطق مستعد وقوع حرکات دامنه‌ای در محدوده شهری سنتدج از ۸ پارامتر ارتفاع، شب، جهت شب، رودخانه، لیتوژوژی، فاصله از گسل، فاصله از جاده و کاربری اراضی استفاده شده است. انتخاب پارامترها بر اساس وضعیت ژئومورفولوژی، هیدرولوژی و زمین‌شناسی منطقه، نظرات کارشناسان (۵ متخصص ژئومورفولوژی) و همچنین مطالعات پیشین ([اعبدینی و همکاران، ۱۳۹۸](#)؛ [نوجوان و همکاران، ۱۳۹۸](#)؛ [غلامی و همکاران، ۱۳۹۸](#))

شناسایی مناطق مستعد وقوع سیلاب: بهمنظور پتانسیل سنجی مناطق مستعد وقوع سیلاب در محدوده شهری سنتدج، با توجه به وضعیت هیدرولوژی ژئومورفولوژی منطقه، نظرات کارشناسان (۵ متخصص ژئومورفولوژی) و بر اساس مطالعات پیشین صورت گرفته ([اسدپور، ۱۳۹۸](#)؛ [مقیمی و رستمی فتح‌آبادی، ۱۳۹۸](#))، از ۶ پارامتر (ارتفاع، شب، جهت شب، فاصله از رودخانه، لیتوژوژی و کاربری اراضی) استفاده شده است.

شناسایی مناطق آسیب‌پذیر در برابر زمین‌لرزه: بهمنظور شناسایی مناطق آسیب‌پذیر در برابر زمین‌لرزه از ۶ پارامتر نوع کاربری شهری، لیتوژوژی، فاصله از گسل، فاصله از فضای باز و شب استفاده شده است. انتخاب پارامترها با توجه به وضعیت زمین‌شناسی و ژئومورفولوژی منطقه، نظرات کارشناسان (۵ متخصص ژئومورفولوژی) و همچنین مطالعات پیشین صورت گرفته ([حیدریان، ۱۳۹۹](#)؛ [امیراحمدی و آب باریکی، ۱۳۹۳](#)) بوده است.

شناسایی مناطق مستعد آلودگی (آلودگی زیست محیطی): بهمنظور شناسایی مناطق مستعد آلودگی از ۶ پارامتر فاصله از مرکز شهر، فاصله از جاده، فاصله از رودخانه، کاربری شهری، ارتفاع و شب استفاده شده است. انتخاب پارامترها بر اساس وضعیت هیدرولوژی ژئومورفولوژی شهر سنتدج، نظرات کارشناسان (۵ متخصص ژئومورفولوژی) و مطالعات پیشین از جمله [زنالی و همکاران \(۱۳۹۷\)](#) بوده است.

شناسایی مناطق مستعد ترافیک: به منظور شناسایی مناطق مستعد ترافیک از ۳ پارامتر کاربری شهری، فاصله از مرکز شهر و فاصله از جاده استفاده شده است. انتخاب پارامترها با توجه به وضعیت زمین‌شناسی و ژئومورفولوژی منطقه، نظرات کارشناسان (۵ متخصص ژئومورفولوژی) و همچنین مطالعات پیشین صورت گرفته بوده است.

۳-بحث و نتایج

در این پژوهش به منظور شناسایی مناطق مستعد وقوع مخاطرات طبیعی و انسانی در محدوده شهری سنجاق، ابتدا لایه‌های اطلاعاتی تهیه شده و سپس مناطق مستعد وقوع هر کدام از مخاطرات شناسایی شده است. در ادامه به تشریح نتایج حاصله پرداخته شده است:

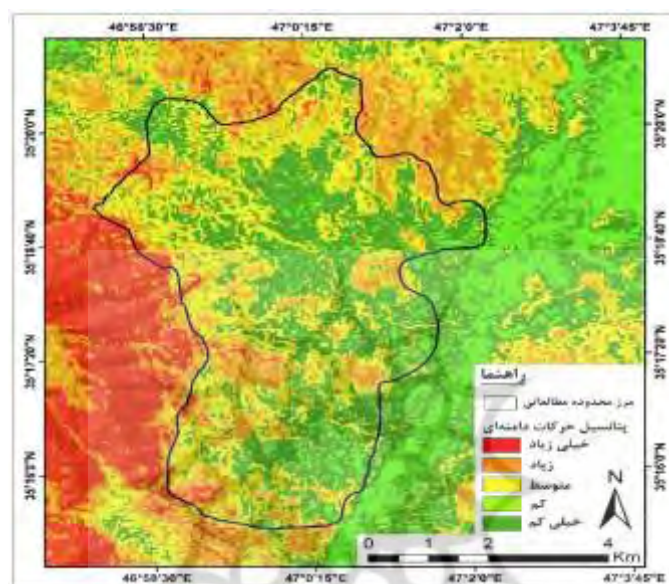
شناسایی مناطق مستعد وقوع حرکات دامنه‌ای: در این پژوهش به منظور شناسایی مناطق مستعد وقوع حرکات دامنه‌ای از ۸ پارامتر استفاده شده است. در [جدول ۱](#) پارامترهای مورد استفاده و نحوه فازی‌سازی و وزن دهنی به آن‌ها نشان داده شده است.

جدول ۱- نحوه فازی‌سازی و امتیاز لایه‌های اطلاعاتی

ردیف	پارامتر	ناحیه فازی سازی	وزن
۱	ارتفاع	به مناطق مرتفع ارزش نزدیک به ۱ و مناطق کم ارتفاع ارزش نزدیک به صفر داده شده است.	۰/۰۷۷
۲	شیب	به مناطق پرشیب ارزش نزدیک به ۱ و مناطق کم شیب ارزش نزدیک به صفر داده شده است.	۰/۰۶۸
۳	جهت شیب	به جهات شمالی ارزش نزدیک به ۱ و به جهات جنوبی ارزش نزدیک به صفر داده شده است.	۰/۰۵۱
۴	فاصله از رودخانه	به مناطق نزدیک به رودخانه ارزش نزدیک به ۱ و مناطق دور از رودخانه ارزش نزدیک به صفر داده شده است.	۰/۱۴۵
۵	فاصله از جاده	به مناطق نزدیک به جاده ارزش نزدیک به ۱ و مناطق دور از جاده ارزش نزدیک به صفر داده شده است.	۰/۱۸۳
۶	کاربری اراضی	به کاربری نواحی سکونتگاهی ارزش $0/3$ ، به کاربری باخ ارزش $0/5$ ، به کاربری کشاورزی ارزش $0/7$ و به کاربری مراتع ارزش $0/9$ داده شده است.	۰/۰۶۸
۷	لیتوژوئی	به طبقات آنژیت و بازلات ارزش $0/2$ ، به طبقات فلیش، کلکلومرا و ماسه‌ستگ ارزش نزدیک به $0/4$ ، به طبقه آهک ارزش $0/5$ ، به طبقه مواد آبرفتی ارزش $0/7$ و به طبقه شیل ارزش $0/9$ داده شده است.	۰/۱۲۳
۸	فاصله از گسل	به مناطق نزدیک به گسل ارزش نزدیک به ۱ و مناطق دور از گسل ارزش نزدیک به صفر داده شده است.	۰/۰۸۵

پس از فازی‌سازی لایه‌های اطلاعاتی و اعمال وزن‌های به دست آمده بر روی آن‌ها، درنهایت با استفاده از عملگر گامای فازی $0/7$ (از گاماهای مختلف خروجی گرفته شده و نتایج به دست آمده بر روی گوگل ارث اورلی و سپس بررسی شده است، درنهایت با توجه به اینکه گامای $0/7$ به واقعیت نزدیک‌تر بود، از این گاما استفاده شده است)، لایه‌ها با هم تلفیق شده و نقشه نهایی مناطق مستعد وقوع حرکات دامنه‌ای در محدوده مطالعاتی تهیه شده است.

(شکل ۲). بر اساس نتایج به دست آمده، در یک روند کلی نیمه غربی محدوده مطالعاتی که شامل ارتفاعات و دامنه‌های آبیدر است، پتانسیل وقوع حرکات دامنه‌ای زیادی دارد. در واقع در بخش‌های غربی و شمالی شهر سنتنچ و همچنین واحدهای پهمانه‌ی موجود در شهر سنتنچ، به دلیل داشتن ارتفاع و شیب زیاد و همچنین بریدگی پای دامنه‌ها توسط جاده، پتانسیل بالایی جهت حرکات دامنه‌ای دارند. همچنین بخش‌های شرقی و جنوب شرقی محدوده شهری سنتنچ به دلیل نداشتن شیب زیاد، کمتر در معرض حرکات دامنه‌ای قرار دارند.



شکل ۲- نقشه نهایی مناطق مستعد وقوع حرکات دامنه‌ای در محدوده مطالعاتی

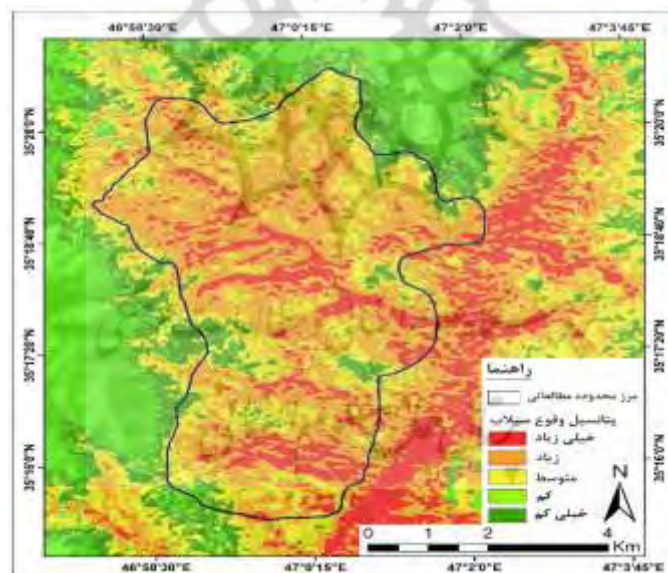
-**شناسایی مناطق مستعد وقوع سیلاب:** در این پژوهش به منظور شناسایی مناطق مستعد وقوع سیلاب از ۶ پارامتر استفاده شده است. در [جدول ۲](#) پارامترهای مورد استفاده و نحوه فازی‌سازی و وزن دهی به آن‌ها نشان داده شده است.

جدول ۲- نحوه فازی‌سازی و امتیاز لایه‌های اطلاعاتی

ردیف	پارامتر	نحوه فازی سازی	وزن
۱	ارتفاع	به مناطق کم ارتفاع ارزش نزدیک به ۱ و مناطق مرتفع ارزش نزدیک به صفر داده شده است.	۰/۱۵۹
۲	شیب	به مناطق کم شیب ارزش نزدیک به ۱ و مناطق پر شیب ارزش نزدیک به صفر داده شده است.	۰/۲۴۲
۳	جهت شیب	به جهات شمالی ارزش نزدیک به ۱ و به جهات جنوبی ارزش نزدیک به صفر داده شده است.	۰/۰۸۲
۴	فاصله از رودخانه	به مناطق نزدیک به رودخانه نزدیک به ۱ و مناطق دور از رودخانه ارزش نزدیک به صفر داده شده است.	۰/۳۲۷

ردیف	پارامتر	نحوه فازی سازی	وزن
۵	کاربری اراضی	به کاربری نواحی سکونتگاهی ارزش ۰/۹، به کاربری باغ ارزش ۰/۷، به کاربری کشاورزی ارزش ۰/۵ و به کاربری مراتع ارزش ۰/۳ داده شده است.	۰/۱۱۸
۶	لیتولوژی	به طبقات آندزیت و بازالت ارزش ۰/۹، به طبقات فلیش، کنگلومرا و ماسه‌سنگ ارزش نزدیک به ۰/۷، به طبقه آهک ارزش ۰/۶، به طبقه شیل ارزش ۰/۵ و به طبقه مواد آبرفتی ارزش ۰/۳ داده شده است.	۰/۰۷۱

پس از تعیین وزن نهایی هر پارامتر و اعمال آن بر روی لایه‌های اطلاعاتی، لایه‌های اطلاعاتی با استفاده از عملگر گامای فازی (۰/۷) با هم تلفیق و ترکیب شده‌اند و درنهایت نقشه نهایی مناطق مستعد وقوع سیلاب حاصل شده است ([شکل ۳](#)). بر اساس نتایج به دست آمده، بخش‌های زیادی از مناطق شرقی و همچنین مناطق مرکزی شهر سنندج مستعد وقوع سیلاب و آبگرفتگی هستند. در واقع، بخش‌های شرقی شهر سنندج به دلیل نزدیکی به رودخانه قشلاق، شب و ارتفاع کم، پتانسیل زیادی از نظر وقوع سیلاب دارد و همچنین مناطق مرکزی شهر سنندج نیز به دلیل کم شب بودن و تجمع رواناب‌ها، پتانسیل زیادی از نظر آبگرفتگی دارد. همچنین نتایج ارزیابی نقشه نهایی مناطق مستعد وقوع سیلاب بیانگر این است که بخش‌های غربی شهر سنندج به دلیل قرارگیری در مناطق مرتفع و داشتن شب لازم، پتانسیل خیلی کمی از نظر وقوع سیلاب و آبگرفتگی دارند.



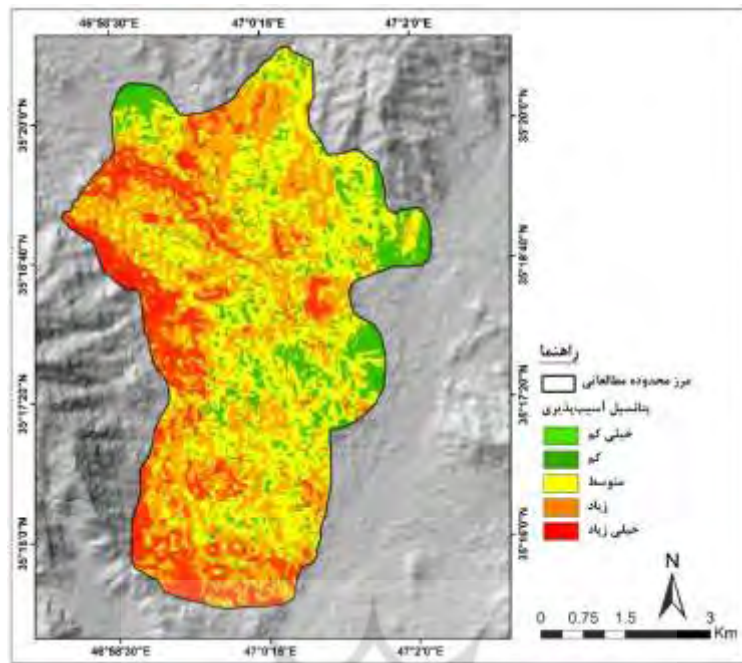
شکل ۳- نقشه نهایی مناطق مستعد وقوع سیلاب

-شناسایی مناطق آسیب‌پذیر در برابر زلزله: در این پژوهش به منظور شناسایی مناطق آسیب‌پذیر در برابر زلزله از ۶ پارامتر استفاده شده است. در [جدول ۳](#) پارامترهای مورد استفاده و نحوه فازی‌سازی و وزن‌دهی به آن‌ها نشان داده شده است.

جدول ۳- نحوه فازی سازی و امتیاز لایه‌های اطلاعاتی

ردیف	پارامتر	نحوه فازی سازی	وزن
۱	کاربری اراضی	به کاربری فضای باز ارزش ۰/۱، به کاربری فضای ورزش ارزش ۰/۳، به کاربری نظامی ارزش ۰/۴، به کاربری خدماتی ارزش ۰/۵، به کاربری اداری و آموزشی ارزش ۰/۶، به کاربری بهزیستی ارزش ۰/۷، به کاربری مدرسه ارزش ۰/۸ و به کاربری سکونتگاهی ارزش ۰/۹ داده شده است.	۰/۲۸۸
۲	لیتوژوژی	به طبقات آندزیت و بازالت ارزش ۰/۹، به طبقه آهک ارزش ۰/۸، به طبقات فلیش، کنگالومرا و ماسه-سنگ ارزش نزدیک به ۰/۷، به طبقه مواد آبرفتی ارزش ۰/۵ و به طبقه شیل ارزش ۰/۳ داده شده است.	۰/۰۷۳
۳	شیب	به مناطق پر شیب ارزش نزدیک به ۱ و به مناطق کم شیب ارزش نزدیک به صفر داده شده است.	۰/۲۲۸
۴	فاصله از گسل	به مناطق نزدیک به گسل ارزش نزدیک به ۱ و به مناطق دور از گسل ارزش نزدیک به صفر داده شده است.	۰/۱۷۰
۵	فاصله از جاده	به مناطق دور از جاده ارزش نزدیک به ۱ و به مناطق نزدیک به جاده ارزش نزدیک به صفر داده شده است.	۰/۱۳۵
۶	فاصله از فضای باز	به مناطق دور از فضای باز ارزش نزدیک به ۱ و به مناطق نزدیک به فضای باز ارزش نزدیک به صفر داده شده است.	۰/۱۰۷

پس از وزن‌دهی و اعمال وزن‌ها بر روی لایه‌های اطلاعاتی، همانند مراحل قبلی، لایه‌های اطلاعاتی با استفاده از عملگر گامای فازی (۰/۷) با هم تلفیق و ترکیب شده‌اند و درنهایت نقشه نهایی پتانسیل آسیب‌پذیری در برابر زلزله حاصل شده است ([شکل ۴](#)). بر اساس نتایج حاصله، شهر سنتنچ پتانسیل آسیب‌پذیری بالایی در برابر زلزله دارد، در واقع وجود شیب زیاد، تراکم بالا و عدم دسترسی به فضای باز، بافت فرسوده و همچنین موقعیت زمین‌شناسی شهر سنتنچ سبب شده است تا آسیب‌پذیری در برابر زلزله احتمالی بسیار زیاد باشد. نتایج حاصل از ارزیابی‌ها و تلفیق لایه‌های اطلاعاتی بیانگر این است که حدود ۱۹ کیلومتر مربع از محدوده شهری سنتنچ (بیش از ۵۰ درصد) به دلیل عدم دسترسی به فضای باز، واقع شدن در مناطق پرشیب و داشتن کاربری سکونتگاهی، در طبقه پتانسیل آسیب‌پذیری زیاد و خیلی زیادی قرار گیرند. بنابراین بخش زیادی از شهر سنتنچ، در معرض آسیب‌های ناشی از زلزله احتمالی قرار دارد که ضروری است بر ساخت‌وسازهای این مناطق نظارت بیشتری صورت گیرد.



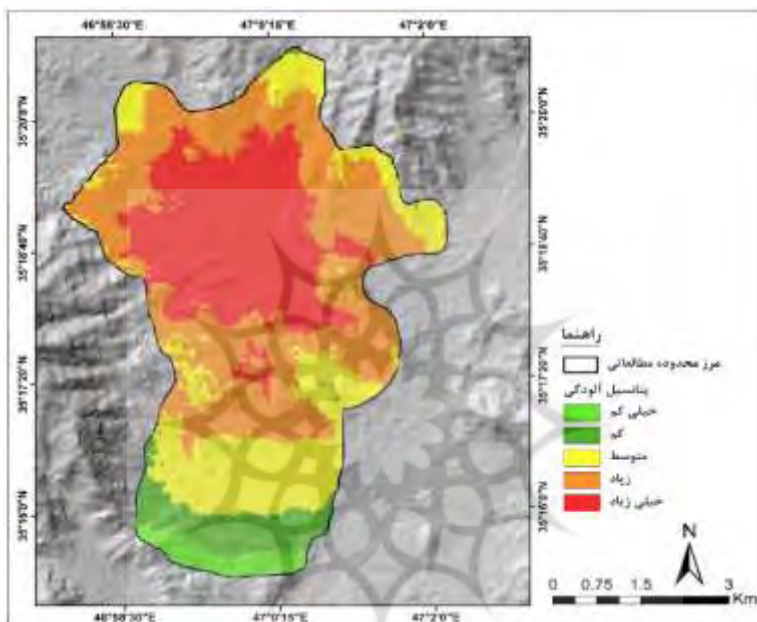
شکل ۴- نقشه نهایی مناطق آسیب‌پذیر در برابر زلزله در محدوده شهری سنتنچ

-پتانسیل سنجی مناطق مستعد آلودگی: در این پژوهش به منظور شناسایی مناطق مستعد آلودگی از ۶ پارامتر استفاده شده است. در جدول ۴ پارامترهای مورد استفاده و نحوه فازی‌سازی و وزن دهی به آنها نشان داده شده است.

جدول ۴- نحوه فازی‌سازی و امتیاز لایه‌های اطلاعاتی

ردیف	پارامتر	نحوه فازی سازی	وزن
۱	کاربری اراضی	به کاربری سکوتگاهی ارزش ۰/۱، به کاربری تجاری و خدماتی ارزش ۰/۳، به کاربری فضاهای عمومی ارزش ۰/۵، به کاربری کارگاهی و صنعتی ارزش ۰/۷، و به کاربری حمل و نقل ارزش ۰/۹ داده شده است.	۰/۲۲۸
۲	فاصله از مرکز شهر	به مناطق نزدیک به مرکز شهر ارزش نزدیک به ۱ و به مناطق دور از مرکز شهر ارزش نزدیک به صفر داده شده است.	۰/۲۸۸
۳	فاصله از جاده	به مناطق نزدیک به جاده ارزش نزدیک به ۱ و به مناطق دور از جاده ارزش نزدیک به صفر داده شده است.	۰/۱۳۵
۴	فاصله از رودخانه	به مناطق نزدیک به رودخانه ارزش نزدیک به ۱ و به مناطق دور از رودخانه ارزش نزدیک به صفر داده شده است.	۰/۱۷۰
۵	ارتفاع	به مناطق کم ارتفاع ارزش نزدیک به ۱ و به مناطق مرتفع به جاده ارزش نزدیک به صفر داده شده است.	۰/۰۷۳
۶	شیب	به مناطق کم شیب ارزش نزدیک به ۱ و به مناطق پرشیب ارزش نزدیک به صفر داده شده است.	۰/۱۰۷

پس از وزن دهی و اعمال وزن ها بر روی لایه های اطلاعاتی، همانند مراحل قبلی، لایه های اطلاعاتی با استفاده از عملگر گامای فازی (۰/۷) با هم تلفیق و ترکیب شده اند و درنهایت نقشه نهایی پتانسیل آسیب پذیری در مناطق مستعد آلدگی حاصل شده است (شکل ۵). بر اساس نتایج به دست آمده، مناطق مرکزی شهر سنتدج است که به دلیل تراکم جمعیتی بالا، نوع کاربری شهری، شیب کم و تراکم بالای خیابان های اصلی شهر، پتانسیل آلدگی خیلی زیادی دارد و مناطق غربی و جنوب غربی شهر سنتدج به دلیل دور بودن از هسته مرکزی شهری و همچنین کاربری های مستعد آلدگی، پتانسیل کمی از نظر آلدگی دارند.



شکل ۵- نقشه نهایی مناطق مستعد آلدگی

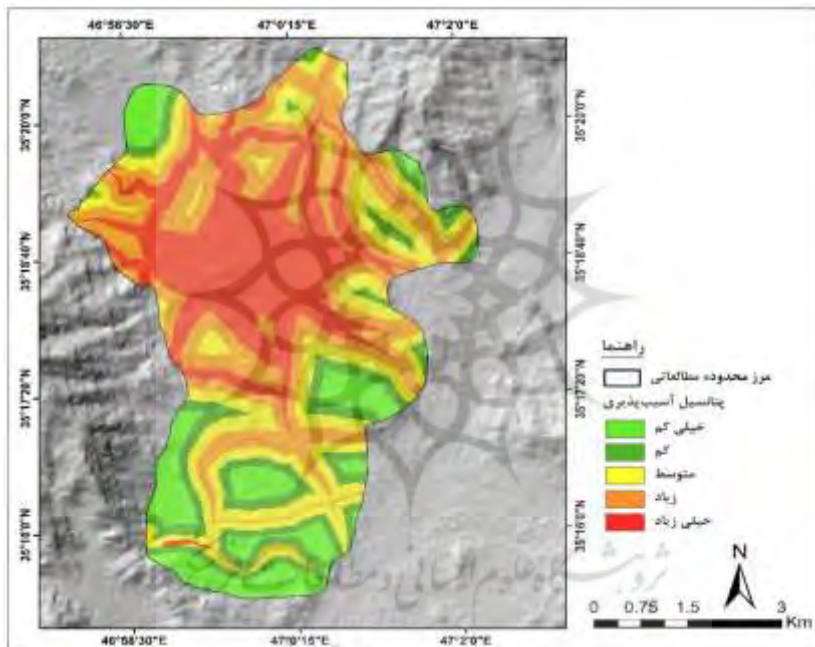
-**پتانسیل سنجدی مناطق مستعد ترافیک:** در این پژوهش به منظور شناسایی مناطق مستعد ترافیک از ۳ پارامتر استفاده شده است. در [جاده ۵](#) پارامترهای مورد استفاده و نحوه فازی سازی و وزن دهی به آنها نشان داده شده است.

جدول ۵- نحوه فازی سازی و امتیاز لایه های اطلاعاتی

ردیف	پارامتر	نحوه فازی سازی	وزن
۱	کاربری اراضی	به کاربری سکونتگاهی ارزش ۰/۱، به کاربری کارگاهی و صنعتی ارزش ۰/۳، به کاربری تجاری و خدماتی ارزش ۰/۳، به کاربری فضاهای عمومی ارزش ۰/۷، و به کاربری حمل و نقل ارزش ۰/۹ داده شده است.	۰/۳۸۷
۲	فاصله از مرکز شهر	به مناطق نزدیک به مرکز شهر ارزش نزدیک به ۱ و به مناطق دور از مرکز شهر ارزش نزدیک به صفر داده شده است.	۰/۴۴۳

ردیف	پارامتر	نحوه فازی سازی	وزن
۳	فاصله از جاده	به مناطق نزدیک به جاده ارزش نزدیک به ۱ و به مناطق دوره از جاده ارزش نزدیک به صفر داده شده است.	۰/۱۶۹

پس از وزن دهنی و اعمال وزن ها بر روی لایه های اطلاعاتی، همانند مراحل قبلی، لایه های اطلاعاتی با استفاده از عملکرگ گامای فازی (۰/۷) با هم تلفیق و ترکیب شده اند و درنهایت نقشه نهایی مناطق مستعد ترافیک حاصل شده است ([شکل ۶](#)). بر اساس نتایج حاصله، مناطق مرکزی شهر سنتدج به دلیل اینکه در هسته مرکزی شهر سنتدج قرار دارد و همچنین با توجه به نوع کاربری و تراکم خیابان ها اصلی، پتانسیل خیلی زیادی جهت ایجاد ترافیک دارد و این پتانسیل به سمت مناطق حاشیه ای کاهش می یابد.

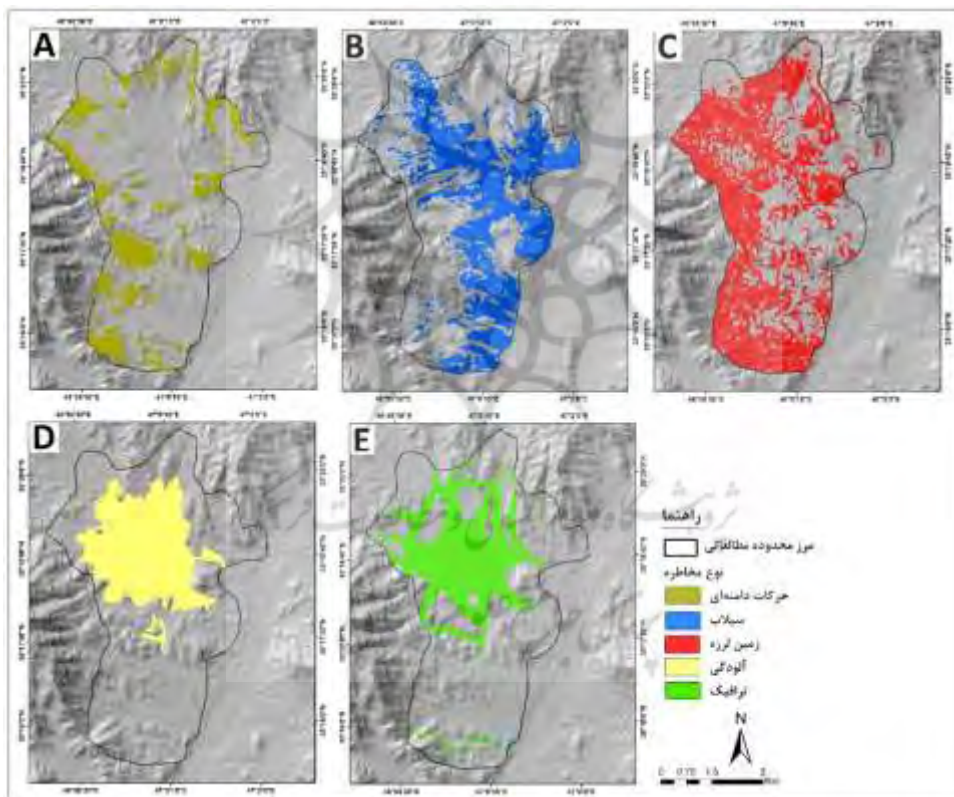


شکل ۶- نقشه نهایی مناطق مستعد ترافیک

۴- تحلیل نتایج

ارزیابی وضعیت مخاطرات شهر سنتدج بیانگر این است که این شهر پتانسیل آسیب پذیری بالایی دارد؛ در [شکل ۷](#) نقشه انواع مخاطرات شهر سنتدج نشان داده شده است. در نقشه های مذکور، مناطقی که پتانسیل آسیب پذیری زیادی در برابر مخاطرات ناشی از حرکات دامنه ای، سیلاب، زلزله، آلودگی و ترافیک دارند، شناسایی شده است. ارزیابی نتایج بیانگر این است که بخش های زیادی از غرب شهر سنتدج و همچنین مناطق شمالی شهر سنتدج به دلیل شبیه و ارتفاع زیاد مستعد وقوع حرکات دامنه ای است. همچنین به دلیل وجود رودخانه قشلاق در نیمه شرقی شهر

سنندج و همچنین وجود مناطق کم شیب در مناطق داخلی شهر سنندج، بخش‌های زیادی از این شهر پتانسیل زیادی به‌منظور ایجاد سیلاب و آب گرفتگی دارد. ارزیابی پتانسیل آسیب‌پذیری در برابر زلزله بیانگر این است بخش‌های غربی و مرکزی شهر سنندج به دلیل نزدیکی به خطوط گسل، شیب زیاد، عدم دسترسی به فضای باز و تراکم جمعیتی بالا، پتانسیل آسیب‌پذیری بالایی دارد. از نظر آلودگی و ترافیک نیز بخش‌های مرکزی شهر سنندج به دلیل تراکم بالای جمعیت و وجود کاربری‌های مختلفی از جمله حمل و نقل و ... پتانسیل آلودگی و ترافیک بالایی دارد. با توجه به موارد مذکور، بخش‌های غربی و شمالی شهر سنندج مستعد وقوع حرکات دامنه‌ای است و همچنین پتانسیل آسیب‌پذیری بالایی در برابر زلزله دارد. بخش‌های شرقی شهر سنندج پتانسیل بالایی از نظر وقوع سیلاب دارد. بخش‌های جنوبی شهر سنندж مستعد وقوع سیلاب است و پتانسیل آسیب‌پذیری بالایی در برابر زلزله دارد. همچنین بخش‌های مرکزی شهر سنندج نیز پتانسیل بالایی از نظر آلودگی و ترافیک دارد.



شکل ۷- نقشه مناطق مستعد (A) حرکات دامنه‌ای، (B) سیلاب، (C) زلزله، (D) آلودگی، (E) ترافیک

۵-نتیجه گیری

نتایج حاصل از ارزیابی مخاطرات شهر سنتدج بیانگر این است که این شهر در معرض انواع مخاطرات طبیعی و انسانی قرار دارد. وضعیت ژئومورفولوژی، اقلیمی و زمین‌شناسی سنتدج سبب شده است تا در معرض انواع مخاطرات محیطی از جمله حرکات دامنه‌ای، سیلاب و زلزله قرار گیرد. همچنین موقعیت سیاسی، اقتصادی و اجتماعی آن نیز باعث شده است تا مخاطرات انسانی از جمله آلودگی و ترافیک بسیار شایع باشد. نتایج ارزیابی‌های صورت گرفته نشان می‌دهد بخش‌های غربی شهر سنتدج به دلیل قرارگیری در مناطق پرشیب و مرتفع پتانسیل زیادی از نظر وقوع حرکات دامنه‌ای دارد و همچنین در برابر زلزله احتمالی پتانسیل آسیب‌پذیری بالایی دارد. بخش‌های شمالی شهر سنتدج نیز به دلیل شب و ارتفاع زیاد مستعد وقوع حرکات دامنه‌ای است و این مناطق نیز پتانسیل آسیب‌پذیری بالایی دارند. بخش‌های شرقی شهر سنتدج به دلیل مجاورت با رودخانه قشلاق، ارتفاع و شب کم، در معرض مخاطرات ناشی از سیلاب و آلودگی قرار دارند. بخش‌های جنوبی شهر سنتدج نیز با مسئله آلودگی و آسیب‌پذیری در برابر سیلاب مواجه است. مناطق مرکزی شهر سنتدج نیز به دلیل تراکم زیاد جمعیت، نوع کاربری شهری، بافت فرسوده و غیره، پتانسیل خیلی زیادی از نظر آلودگی و ترافیک و آسیب‌پذیری زیادی در برابر زلزله احتمالی دارد.

کتابنامه

اسدپور، زهراء؛ ۱۳۹۸. ارزیابی ملاحظات ساماندهی ژئومورفولوژیکی رود دره دلمبر کرج. پایان نامه کارشناسی ارشد. دانشگاه خوارزمی. دانشکده جغرافیا.

امیراحمدی، ابوالقاسم؛ آب‌باریکی، زکیه؛ ۱۳۹۳. ریز پهنه‌بندی خطر زلزله شهر سبزوار با استفاده از سیستم اطلاعات جغرافیایی GIS. مجله جغرافیا و توسعه. سال ۱۲. شماره ۳۵. صص ۱۵۲-۱۳۳.

<https://doi.org/10.22111/GDIJ.2014.1559>

حاتمی‌نژاد، حسین؛ بزرافکن، شهرام؛ ابراهیمی، محمد؛ آروین، محمود؛ ۱۳۹۳. تحلیل میزان آسیب‌پذیری مسکن شهری در موقع بروز مخاطرات محیطی با استفاده تکنیک‌های تلفیقی MCDM+GIS (مطالعه موردی: منطقه ۶ تهران). مجله جغرافیا و پایداری محیط. سال ۴. شماره ۱۳. صص ۱۱-۱.

https://ges.razi.ac.ir/article_406.html

حبیبی، کیومرث؛ جوانمردی، کومار؛ ۱۳۹۲. تحلیل ناپایداری بافت‌های شهری و پهنه‌بندی میزان آسیب‌پذیری در برابر زلزله با استفاده از GIS&AHP (نمونه موردی: بخشی از هسته مرکزی شهر سنتدج). مجله معماری و شهرسازی آرمان شهر. دوره ۶. شماره ۱۱. صص ۳۰۵-۲۹۳.

http://www.armanshahrjournal.com/article_33480.html

حنفی، علی؛ حاتمی، ایرج؛ ۱۳۹۲. تهیه نقشه اقلیمی استان کردستان با استفاده از سیستم اطلاعات جغرافیایی. مجله سپهر. دوره ۲۲. شماره ۸۷. صص ۲۸-۲۴.

http://www.sepehr.org/article_25675.html

حیدریان، لیلا؛ ۱۳۸۶. هیدر وژئومورفولوژی حوضه حسین‌آباد با تأکید بر فرسایش و رسوب، پایان‌نامه کارشناسی ارشد، دانشگاه تهران.

خدادادی، فاطمه؛ انتظاری، مژگان؛ ساسان‌پور، فرزانه؛ ۱۳۹۹. تحلیل آسیب‌پذیری شهری در برابر مخاطره زلزله با روش ELECTRE FUZZY (مطالعه موردی: کلان‌شهر کرج). مجله تحقیقات کاربردی علوم جغرافیایی. سال ۲۰. شماره ۵۶. صص ۱۱۳-۹۳.

<https://doi.org/10.29252/jgs.20.56.93>
حضری، سعید؛ ولدی، بختیار؛ ۱۳۹۵. ارزیابی مخاطرات زیست‌محیطی ژئومورفولوژیک شهرستان کامیاران با تأکید بر مناطق فقیرنشین شهری. دومین کنگره بین‌المللی علوم زمین و توسعه شهری. شرکت کیان طرح دانش. پژوهشکده جهاد دانشگاهی واحد استان آذربایجان شرقی.

<https://civilica.com/doc/526574/>
زینالی، بتول؛ شکرزاوه فرد، الهام؛ پیروزی، الناز؛ ۱۳۹۷. ارزیابی و پنهان‌بندی آلودگی هوا با استفاده از مدل VIKOR (مطالعه موردی: شهر تبریز). مجله مخاطرات محیطی. دوره ۷. شماره ۱۵. صص ۸۸-۶۷.

<https://doi.org/10.22111/JNEH.2017.3316>
عابدینی، موسی؛ رنجبری، احمد، مختاری، داود؛ ۱۳۹۸. تجزیه و تحلیل خطر زمین‌لغزش با استفاده از مدل‌های ANP و LR در محیط GIS (مطالعه موردی پنهان گسلی قوشاداغ-ارسباران در آذربایجان شرقی). مجله پژوهش‌های ژئومورفولوژی کمی. دوره ۸. شماره ۱. صص ۸۸-۷۰.

http://www.geomorphologyjournal.ir/article_91726.html
غلامی، معصومه؛ قنواتی، عزت‌الله؛ صفاری، امیر؛ ۱۳۹۸. شناسایی مناطق وقوع زمین‌لغزش با استفاده از روش‌های تلفیقی و مقایسه‌ای (مطالعه موردی: حوضه پالنگان)-استان کردستان. مجله جغرافیای طبیعی. دوره ۱۲. شماره ۴۵. صص ۳۸-۲۵.

http://jopg.iaularestan.ac.ir/article_669655.html
غلامی، یونس؛ شاطریان، محسن؛ علی‌بیگی، احمد؛ ۱۳۹۸. ارزیابی آسیب‌پذیری بافت‌های فرسوده شهر کاشان ناشی از خطرات زلزله. مجله مخاطرات محیطی. دوره ۸. شماره ۲۱. صص ۷۴-۶۱.

<https://doi.org/10.22111/JNEH.2019.22264.1323>
قائدرحمتی، صفر؛ خادم‌الحسینی، احمد؛ سیاوشی، طاهره؛ ۱۳۹۲. تحلیل میزان ریسک پذیری سکونتگاه‌های شهری استان لرستان از خطر زلزله. جغرافیا و آمایش شهری - منطقه‌ای. سال ۹. شماره ۳. صص ۱۴-۱.

<https://doi.org/10.22111/GAIJ.2014.1385>
مرکز آمار ایران؛ ۱۳۹۵. گزارش آماری جمعیت شهرستان سنتندج.

<https://www.amar.org.ir/>
مقیمی، ابراهیم؛ رستمی فتح‌آبادی، محمد؛ ۱۳۹۸. تعیین مناطق مستعد وقوع سیلاب با استفاده از مدل FAHP (مطالعه موردی: حوضه رودخانه بادآور، نورآباد). کنفرانس ملی "سیلاب ۹۷-۹۶" اگر تکرار شود. اهواز.

<https://news.kwpa.ir/>

منوریان، عباس؛ امیری، مجتبی؛ مهری کلی، سیمین؛ ۱۳۹۷. شناسایی مولفه‌های اثرگذار بر افزایش میزان تابآوری اجتماعی محلات آسیب‌پذیر و دارای بافت فرسوده در مواجه با حوادث طبیعی (شهر موردی: تهران). *فصلنامه مطالعات مدیریت شهری*. سال ۱۰. شماره ۳۴. صص ۲۶-۱۳.

https://ums.srbiau.ac.ir/article_13165.html

نگهبان، سعید؛ گنجائیان، حمید؛ فریدونی کردستانی، مژده؛ چشم‌سازی، زیبا؛ ۱۳۹۸. ارزیابی توسعه فیزیکی شهرها و گسترش به سمت مناطق ممنوعه ژئومورفولوژیکی با استفاده از LCM (مطالعه موردی: شهر سنندج). *مجله مخاطرات محیطی*. دوره ۸. شماره ۲۰. صص ۵۲-۳۹.

<https://doi.org/10.22111/JNEH.2018.21943.1317>

نوجوان، محمد رضا؛ سادات شاهزادی، سمية؛ داوودی، محمود؛ امین‌الرعایی، هاجر؛ ۱۳۹۸. پنهان‌بندی خطر زمین لغزش با استفاده از تلفیق دو مدل فرآیند تحلیل سلسله مراتبی و فازی (مطالعه موردی: حوضه آبخیز کمه، استان اصفهان). *مجله پژوهش‌های ژئومورفولوژی کمی*. سال ۷. شماره ۴. صص ۱۵۹-۱۴۲.

<https://doi.org/10.22126/GES.2021.6461.2391>

نیری، هادی؛ سالاری، ممند؛ گنجائیان، حمید؛ امانی، خبات؛ ۱۳۹۶. ارزیابی ژئومورفولوژیکی تناسب زمین برای گسترش کالبدی شهرسنندج با اعمال مناطق ممنوعه. *پژوهش‌های جغرافیای برنامه‌ریزی شهری*. دوره ۵. شماره ۱. صص ۱۴۷-۱۲۹.

<https://www.sid.ir/fa/journal/ViewPaper.aspx?id=355531>

BoteroFernandez V., 2009. Geo-Information for Measuring Vulnerability to Earthquake: A Fitness for Use Approach PHD Thesis, *ITC, Netherland*. <https://www.researchgate.net/publication/27714409>

Bourenane, H., Bouhadad, Y., Guettouche, M.S., 2019. Flood hazard mapping in urban area using the hydrogeomorphological approach: case study of the Boumerzoug and Rhumel alluvial plains (Constantine city, NE Algeria), *Journal of African Earth Sciences*, 160, <https://doi.org/10.1016/j.jafrearsci.2019.103602>

Malalgoda, C., Amarasinghe, R.D.G., Pathirage, C. P., 2010. Exploring disaster risk reduction in the built environment. School of the Built Environment, *University of Salford, UK*. <https://www.researchgate.net/publication/228411643>

Mas, J.F., Kolb, M., Paegelow, M., Camacho Olmedo, M.T., 2014. Inductive pattern-based land use/cover change models: A comparison of four software packages. *Environmental Modelling & software*, 51, 94-111. <https://doi.org/10.1016/j.envsoft.2013.09.010>

Mia, M. T., Sultana, N., Paul, A., 2016. Studies on the Causes, Impacts and Mitigation Strategies of Landslide in Chittagong city, Bangladesh. *J. Environ. Sci.*, 8 (2), 1-5. <https://doi.org/10.3329/JESNR.V8I2.26854>

Montz, B.E., Tobin, G.A., 2011. Natural hazards: An evolving tradition in applied geography, *Applied Geography*, 31, 1-4. <https://doi.org/10.1016/j.apgeog.2010.06.005>

Pelling, M., 2007. Investigating urban risk accumulation in six countries in Africa urban risk analysis network, *Natural Hazards, and Earth System Sciences*, 11-21. <https://www.alnap.org/help-library/investigating-urban-risk-accumulation-in-six-countries-in-africa>

Peng, Y., 2012. Regional earthquake vulnerability assessment using a combination of MCDM methods. *Ann Oper Res.* <https://doi.org/10.1007/s10479-012-1253-8>

Qiang, Y., Nina, S.N., Lam, H.C., Lei, Z., 2017. Changes in Exposure to Flood Hazards in the United States, *Annals of the American Association of Geographers*, 107 (6). <https://doi.org/10.1080/24694452.2017.1320214>

Soriano, D.G., Roman, A.Q., Orozco, J.J.Z., 2020. Geomorphological hazards susceptibility in high-density urban areas: A case study of Mexico City, *Journal of South American Earth Sciences*, 102. <https://doi.org/10.1016/j.jsames.2020.102667>

Suarez M., Baggethun E.G., Benayas J., Tilbury U., 2016. Towards an Urban Resilience Index: A Case Study in 50 Spanish Cities, *Sustainability*, 8 (774). <https://doi.org/10.3390/su8080774>

